

Timoshenko 梁の差分解法について

吳高尙 正 久良喜代彦

1. まえがき 橫衝撃を受ける梁の断面が長さに比して大きいような場合には単純な仮定に立脚する Bernoulli-Euler 式の適用性は悪くなり¹⁾、梁の剪断たわみならびに回転慣性を考慮に入れた Timoshenko 式

$$E \cdot I \cdot \frac{\partial^3 y}{\partial x^3} + k' \cdot G \cdot A \cdot \frac{\partial^2 y}{\partial x^2} - I \cdot \frac{r}{g} \cdot \frac{\partial^2 \theta}{\partial x^2} = 0 \quad (1)$$

$$\frac{r}{g} \cdot A \cdot \left(\frac{\partial^2 \theta}{\partial x^2} + \frac{\partial^2 y}{\partial x^2} \right) - k' \cdot G \cdot A \cdot \frac{\partial^3 y}{\partial x^3} = 0 \quad (2)$$

の使用が望まれる。(y , θ はそれぞれ曲げ、剪断たわみ)

本研究は Timoshenko 式 (1), (2) を差分的手法で解く数値解析法を開発し、それをレジンモルタル梁のスパン中央に鋼球を落下させて横衝撃を加える場合に適用し、実測データならびに振動形解析法による解と比較することにより、差分解法の適用性について検討しようとすることである。なお、鋼球と梁との接触については Hertz の式²⁾ $F = k \cdot \alpha^{3/2}$, $\alpha = y_r - y$ (3) を用いることにする。

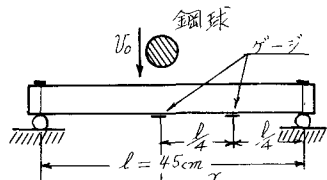


図 1 レジンモルタル梁

2. 差分解法 計算目的のために梁を要素に分割し、一方、衝撃後の経過時間を長さ Δt の微小時間に分割する。Timoshenko 式 (1), (2) やおよび鋼球の運動方程式 $m/g \cdot d^2 y/dt^2 = -F$ (4) を用々、1 次の微分方程式に分解し、その各々を差分式に転化して得られる 1 次方程式群に Hertz の式 (3) を含めたものま次のよう排列する。

$$\begin{aligned} (y_i)_n &= (y_i)_{n-1} + (v_i)_{n-1} \cdot \Delta t \\ (y_i)_n &= (y_i)_{n-1} + (v_i)_{n-1} \cdot \Delta t, \quad (i=1, 2, \dots, p) \\ (\alpha)_n &= (y_r)_n - (y_i)_n \\ (F)_n &= k \cdot \{(\alpha)_n\}^{3/2}, \quad \text{ただし } (\alpha)_n \leq 0 \text{ のとき } (F)_n = 0 \\ (\theta_i)_n &= (\theta_i)_{n-1} - (w_i)_{n-1} \cdot \Delta t, \quad (i=1, 2, \dots, p-1) \\ (M_i)_n &= -E \cdot I \cdot Z \cdot (\theta_i)_n / \Delta x \\ (M_i)_n &= -E \cdot I_i \cdot \{(\theta_i)_n - (\theta_i)_{n-1}\} / \Delta x, \quad (i=2, 3, \dots, p-1) \\ (M_p)_n &= 0 \\ (\beta_i)_n &= \{(y_{i+1})_n - (y_i)_n\} / \Delta x - (\theta_i)_n, \quad (i=1, 2, \dots, p-1) \\ (Q_i)_n &= G \cdot k' \cdot A_i \cdot (\beta_i)_n, \quad (i=1, 2, \dots, p-1) \\ (w_i)_n &= (w_i)_{n-1} + \{[(M_{i+1})_n - (M_i)_n] / \Delta x - (Q_i)_n\} \cdot g \cdot \Delta t / (I_i \cdot J) \\ &\quad , \quad (i=1, 2, \dots, p-1) \\ (v_i)_n &= (v_i)_{n-1} - (F)_n \cdot g \cdot \Delta t / W_r \\ (v_i)_n &= (v_i)_{n-1} + 2 \{ (Q_i)_n + (F)_n \} \cdot g \cdot \Delta t / W_i, \\ (v_i)_n &= (v_i)_{n-1} + \{ (Q_i)_n - (Q_{i-1})_n \} \cdot g \cdot \Delta t / W_i, \quad (i=2, 3, \dots, p-1) \\ (v_p)_n &= 0 \end{aligned}$$

記号の説明

A	断面積 (cm ²)
B	剪断たわみ角
g	梁材料の単位体積重量 (kg/cm ³)
E	弾性係数 (kg/cm ²)
F	鋼球と梁との接觸力 (kg)
G	梁材料の剛性率 (kg/cm ²)
k	Hertz の定数
k'	梁断面の剪断係数
I	断面 2 次モーメント (cm ⁴)
i	梁の各部を表わす添字 (衝撃実験 I とする)
M	曲げモーメント (kg·cm)
n	時間間隔に付いた番号
p	梁の支点部分を表わす添字
Q	剪断力 (kg)
r	鋼球を表わす添字
θ	曲げによるたわみ角
v	変位速度 (cm/sec)
W	重量 (kg)
γ	鉛直方向変位 (cm)
ω	梁要素の回転角速度 (1/sec)
() _n	時間間隔 n における量であることを表わす。

初期条件として $v_r = v_0$ (衝撃速度), $(y_i)_0 = (v_i)_0 = (\theta_i)_0 = (w_i)_0 = 0$, ($i=1, 2, \dots, p$) を与えて上記の方程式群を一つの時間間隔について上から順に解いて行く。これを反復することによって y_i , M_i 等の波形が得られる。応力波の減衰を考慮する場合には Voigt 型の減衰モデルを用いることにし、上記の中の M_i は次式で与えられる。

$$(M_i)_n = -E \cdot I_i \cdot \{(\theta_i)_n - (\theta_{i-1})_n + 2 \cdot \{[(\theta_i)_n - (\theta_{i-1})_n] - [(\theta_i)_{n-1} - (\theta_{i-1})_{n-1}]\} / \Delta t\} / \Delta x, \quad \text{ただし } \gamma \text{ は内部摩擦係数 (sec)}$$

3. 実験の概要 レジンモルタルの結合材には不飽和ポリエスチル樹脂(武田薬品工業製)を用いた。その配合ならびに静的特性を表1、表2に示す。衝撃試験には $5 \times 5 \times 50$ cmの角柱供試体を行い、スパン $l = 45$ cm で両端を単純支持とした。スパン中央ならびに右端の下縁に支和ゲージ K10A1 個を貼付した。(図1)

梁のスパン中央に種々の落高で鋼球を落下させて横衝撃を加え、ゲージ貼付位置の歪み波形をシシクロスコープ DS 5016 で観測した。

鋼球は直径 2.86, 4.2, 5.08, 7.62cm のものを用いた。実験結果として得られた歪み波形の一例を写真1に示す。

4. 計算データ 上記の実験を追跡するために行った計算では時間間隔 $\Delta t = 0.5 \times 10^{-6}$ sec, 梁の分割数 $N_d = 20$ (分割長 $\Delta x = 2.25$ cm), 衝撃速度 $V_0 = \sqrt{2gh_r}$, (h_r : 鋼球の落高) とした。又、梁材料の弾性係数 E には動的弾性係数 $E_D = 2.93 \times 10^5$ kg/cm² を用い、梁断面の剪断係数は $\beta' = 0.66667$ とした。なお、鋼球の弾性係数およびボアン比は夫々 2.1×10^6 kg/cm², 0.29 とした。

5. 実験ならびに計算結果の検討

検討の結果、得られた主要な結論は次の通りである。

i) 応力波の減衰を考慮しない場合、差分解法で得られた応力波形と実測応力波形とは初期の立ち上り部分では大體一致したが、その後においてはかなりの開きが出て来ている。(図2)

ii) 減衰を考慮することによって少くとも過渡振動の領域では理諭波形を実測波形にかなりよく一致させることが出来るようと思われる。(図2)

iii) 本研究では梁材料の内部摩擦係数 τ' を $5 \times 10^{-6} \sim 10^{-5}$ sec 程度にした時に良好な結果が得られたが、減衰の原因としては、も

しろ、支点におけるエネルギーの逸散によるものの方が大きいように思われる。

iv) 一種の近似解法である差分解法による解は振動形解析法による解とかなりよく一致した。

v) 過渡振動の領域では差分解法の適用性は良好のように思われる。

vi) 衝撃によるスパン中央下縁の最大曲げ引張歪みは衝撃速度 V_0 に大體比例した。なお、この比例関係は破壊近傍に到るまで持続するようと思われる。

参考文献

- 久良喜代彦: 単純支持梁の曲げ応力波に関する数值解析法について、実験研究報告16号、1981。
- Goldschmid, W.: Impact, Arnold, London, 1960.

表1 レジン・モルタルの配合(重量比)

樹脂	ポリマーVXGK2	20%
砂	豊浦産	56%
炭酸カルシウム		24%
促進剤	ナフタレン酸エバート	0.5%
硬化剤	ルピゾールDDM	0.55%

* ポリマーVにに対する重量比

表2 レジン・モルタルの特性

単位体積重量	0.002 kg/cm ³
静的弾性係数	2.16×10^5 kg/cm ²
動 " "	2.33×10^5 "
ボアン比	0.275
圧縮強度	986 kg/cm ²
引張強度	112 "
曲げ強度	375 "

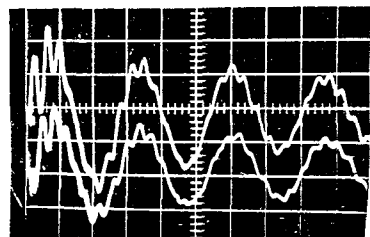


写真1 鋼球半径 $r = 5.08$ cm, 落高 $h_r = 10$ cm
上: スパン中央, 下: 斜め位置 応力波形
縦 38.75 kg/cm²/div. 横 1 ms/div.

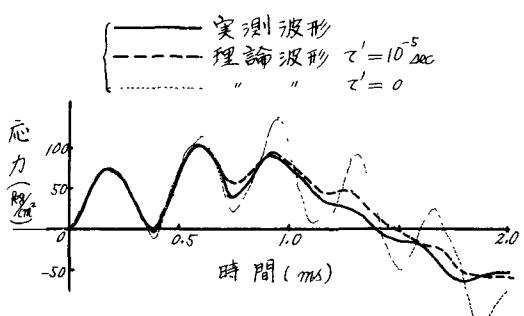


図2. スパン中央下縁応力波形
(鋼球半径 4.2cm, 落高 20cm の場合)